



УДК 547.455.6'118.057

© 1991 г.

Н. С. Уткина, А. В. Пиколаев, В. Н. Шубаев

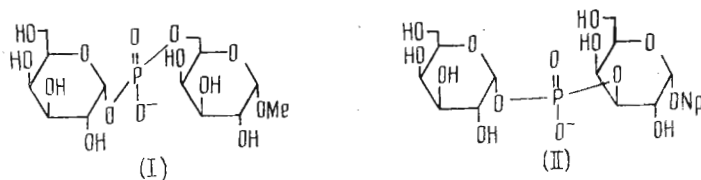
## ФРАГМЕНТЫ БИОПОЛИМЕРОВ, СОДЕРЖАЩИХ ОСТАТКИ ГЛИКОЗИЛФОСФАТОВ

### 6\*. СИНТЕЗ ФОСФОДИЭФИРОВ $\alpha$ -D-ГАЛАКТОПИРАНОЗЫ — ФРАГМЕНТОВ ДРОЖЖЕВЫХ ФОСФОГАЛАКТАНОВ *SPOROBOLOMYCES* И КАПСУЛЬНОГО АНТИГЕНА *ESCHERICHIA COLI* K 52

Институт органической химии им. Н. Д. Зелинского АН СССР, Москва

Синтезированы метил-6- $\alpha$ -D-галактопиранозилфосфо- и *n*-нитрофенил-3- $\alpha$ -D-галактопиранозилфосфо- $\alpha$ -D-галактопиранозиды, фрагменты дрожжевых и бактериального фосфогалактанов. Конденсация 2,3,4,6-тетра-О-бензоил- $\alpha$ -D-галактопиранозил-водородфосфоната с соответствующими частично ацилированными галактопиранозидами в присутствии триметилацетилхлорида с последующим окислением приводила к защищенным гликозилфосфосахарам, которые превращали в целевые соединения О-дебензоилированием. Приведены данные спектров  $^1\text{H}$ -,  $^{13}\text{C}$ - и  $^{31}\text{P}$ -ЯМР синтезированных диэфиров фосфорной кислоты.

В предыдущих сообщениях [1—5] мы показали, что гликозилфосфосахара, содержащие различные типы фосфодиэфирных связей и построенные из остатков различных гексопираноз, могут быть эффективно синтезированы гликозилводородфосфонатным методом. Этот подход, основанный на первоначальном образовании диэфиров водородфосфоновой кислоты и их последующем окислении, был успешно использован в синтезе  $\alpha$ -D-маннопиранозилфосфо-,  $\alpha$ -D-глюкопиранозилфосфо- и  $\alpha$ -D-N-ацетилглюкозаминилфосфогексоз. В настоящей публикации мы сообщаем о распространении водородфосфонатного метода на синтез гликозилфосфосахаров, содержащих  $\alpha$ -D-галактопиранозилфосфатные звенья. Исследование выполняли на примере синтеза 1 $\rightarrow$ 6- и 1 $\rightarrow$ 3-связанных галактозилфосфогалактозидов (I) и (II).



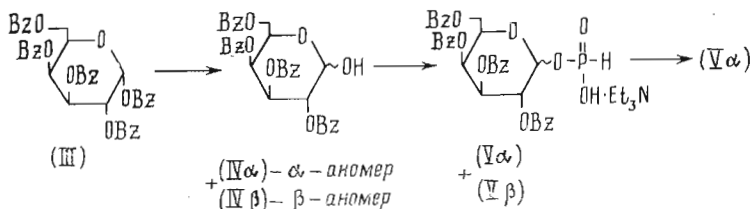
Соединение (I) является терминальным фрагментом внеклеточных фосфорилированных галактанов дрожжей *Sporobolomyces* NRRLY-6493 и NRRLY-6502 [6]. Фосфодиэфир (II) представляет собой фрагмент основной цепи капсульного антигена *E. coli* K 52 [7]. В литературе имеется единственный пример синтеза галактозилфосфогексозы [8], который был выполнен с использованием фосфодиэфирного метода.

Синтез фосфодиэфиров (I) и (II) осуществляли путем конденсации О-бензоилированного галактозилводородфосфоната ( $V\alpha$ ) и соответствующим образом защищенных производных  $\alpha$ -D-галактопиранозидов с последующим окислением и удалением защитных групп.

\* Сообщение 5 см. [1].

Фосфонат (V $\alpha$ ) являлся ключевым соединением, донором  $\alpha$ -D-галактопиранозилфосфатных фрагментов. Исходным для его синтеза служил пентабензоат галактозы (III) [9], который селективно 1-О-дебензоилировали (схема 1) действием *трет*-бутиламина в тетрагидрофуране с MeOH [4]. В результате с выходом 83% был получен 2,3,4,6-тетрабензоат (IV), который, представляя собой смесь  $\alpha$ - и  $\beta$ -аномеров в соотношении 4 : 1. Попытки разделить эту смесь методами кристаллизации или хроматографии не привели к получению чистого  $\alpha$ -аномера (IV $\alpha$ ), необходимого для синтеза фосфоната (V $\alpha$ ). Наилучшие результаты были получены при хроматографии на обращенной фазе RP-8 в водном метаноле. Таким образом удалось выделить фракцию, содержащую 90%  $\alpha$ -аномера (IV $\alpha$ ) ( $\alpha$  :  $\beta$  = 9 : 1).

СХЕМА 1



Обработка аномерной смеси тетрабензоатов (IV) ( $\alpha$  :  $\beta$  = 4 : 1) триимидазолидофосфитом в CH<sub>3</sub>CN с последующим гидролизом имидазолидных групп [1, 2] привела к производному галактозилводородфосфоната (V), с выходом, близким к количественному. По данным спектроскопии <sup>1</sup>H-ЯМР, этот продукт также являлся смесью  $\alpha$ - и  $\beta$ -аномеров (V $\alpha$ ) и (V $\beta$ ) в соотношении 4 : 1. Нам удалось подобрать условия, обеспечивающие эффективное получение  $\alpha$ -водородфосфоната за счет аномеризации или предпочтительного расщепления  $\beta$ -аномера (V $\beta$ ). Обработка полученной смеси фосфонатов (V) ( $\alpha$  :  $\beta$  = 4 : 1) большим избытком H<sub>3</sub>PO<sub>3</sub> в CH<sub>3</sub>CN приводила к чистому  $\alpha$ -аномеру (V $\alpha$ ), выделенному хроматографией на си-

Таблица I

Химические сдвиги <sup>1</sup>H-ЯМР ( $\delta$ , CDCl<sub>3</sub>) и КССВ (Гц) первого порядка соединений (IV $\alpha$ ), (IV $\beta$ ), (V $\alpha$ ) и (V $\beta$ )

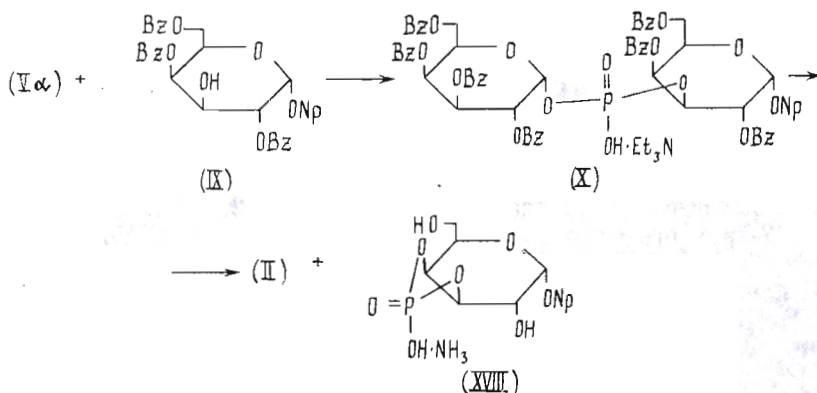
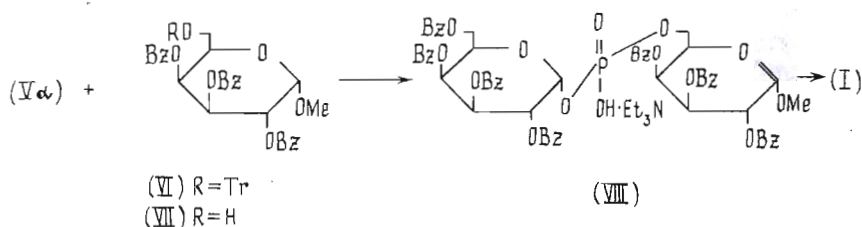
Атом	(IV $\alpha$ )	(IV $\beta$ )	(V $\alpha$ )	(V $\beta$ )
H1	5,87 т $J_{1,2} = J_{1,OH} = 3,4$	5,07 т $J_{1,2} = J_{1,OH} = 7,6$	6,19 дд, $J_{1,P} 8,5$ $J_{1,2} 3,3$	5,70 дд, $J_{1,P} 9,0$ $J_{1,2} 8,0$
H2	5,72 дд $J_{2,3} 11,7$	5,63 дд $J_{2,3} 10,4$	5,77 ддд, $J_{2,P} 1,3$ $J_{2,3} 9,8$	5,87 дд $J_{2,3} 10,0$
H3	6,09 дд $J_{3,4} 3,4$	5,74 дд $J_{3,4} 3,4$	6,12 дд $J_{3,4} 3,1$	5,59 дд $J_{3,4} 3,1$
H4	6,08 дд $J_{4,5} 1,6$	6,02 дд $J_{4,5} 1,0$	6,08 дд $J_{4,5} 1,4$	6,02 дд $J_{4,5} 1,0$
H5	4,89 дт $J_{5,6a} = J_{5,6b} = 6,5$	4,38 дт $J_{5,6a} = J_{5,6b} = 6,3$	4,95 дт $J_{5,6a} = J_{5,6b} = 6,3$	4,35—4,47 м
H6a	4,40 дд $J_{6a,6b} 11,2$	4,45 дд $J_{6a,6b} 10,7$	4,38 дд $J_{6a,6b} 11,0$	4,35—4,47 м
H6b	4,63 дд	4,69 дд	4,60 дд	~4,68 м
HO	3,25 уш.	3,25 уш.	—	—
HP	—	—	7,07 д $J_{H,P} 637,5$	7,02 д $J_{H,P} 645,0$
C <sub>6</sub> H <sub>5</sub>	7,20—8,15 м	—	7,20—8,13 м	—
C <sub>2</sub> H <sub>5</sub>	—	—	1,22 т 2,93 ж	—

ликагеле с выходом 70%. При аналогичной обработке продукта (V) с соотношением  $\alpha$ - и  $\beta$ -аномеров 9 : 1, полученного из соответствующей смеси тетрабензоатов (IV) (см. выше), выход  $\alpha$ -водородфосфоната составил 80%.

Строение аномерных смесей производных (IV) и (V) и выделенного  $\alpha$ -фосфоната (V $\alpha$ ) надежно подтверждалось данными спектров  $^1\text{H}$ -ЯМР (табл. 1). Сигналы почти всех протонов имели отличающиеся для  $\alpha$ - и  $\beta$ -аномеров химсдвига, причем наиболее характерными являлись сигналы H1, H3 и H5. Конфигурация при C1 следовала из характерных для производных  $\alpha$ - и  $\beta$ -галактозы значений КССВ  $J_{1,2}$ . В спектрах водородфосфонатов (V $\alpha$ ) и (V $\beta$ ) наблюдалось дополнительное расщепление сигнала H1 (а в случае  $\alpha$ -аномера — также H2) за счет спин-спинового взаимодействия с атомом фосфора. Следует отметить также различие положений резонанса фосфонатного протона  $\text{HP}$ , которое было использовано при определении соотношения аномеров в смеси (V).

Для  $\alpha$ -аномера (V $\alpha$ ) структура дополнительно подтверждена данными спектра  $^{13}\text{C}$ -ЯМР (см. «Экспериментальную часть»), в котором имело место характерное расщепление сигналов C1 и C2 на атоме фосфора. Спектр  $^{31}\text{P}$ -ЯМР ( $\delta_{\text{P}}$  1,74,  $^1J_{\text{P,H}}$  637,5 Гц) был типичным для гликозилводородфосфонатов аналогичной структуры [1—3, 5].

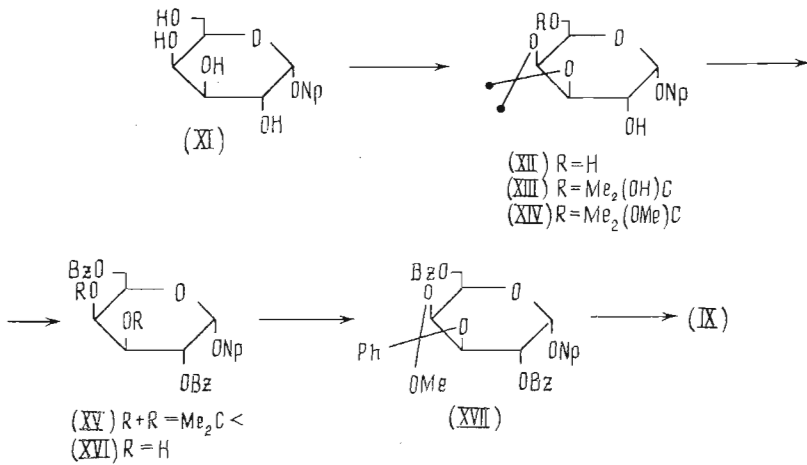
Схема 2



При синтезе 1 → 6-связанного галактозилфосфогалактозида (I) спиртовым компонентом являлось 6-ОН-производное (VII) (схема 2). Его получали из метил- $\alpha$ -D-галактопиранозида традиционным путем через три-тиловый эфир (VI) с общим выходом 63%.

Конденсацию соединений (V $\alpha$ ) и (VII) (в соотношении 1 : 1) проводили в пиридине с использованием в качестве конденсирующего реагента три-метилацетилхлорида. Образующиеся продукты без выделения окисляли действием раствора иода в водном пиридине. В результате бензоилированный фосфодиэфир (VIII) был выделен хроматографией на  $\text{SiO}_2$  с выходом 80%. На заключительной стадии синтеза соединение (VIII) дебензоилировали 0,1 М раствором MeONa в метаноле с диоксаном при комнатной температуре. Продукт деблокирования, целевой гликозилфосфосахар (I), выделяли гель-хроматографией на фрактогеле TSK HW-40 (S) с выходом 80%. Строение фосфодиэфиров (I) и (VIII) подтверждалось путем детального анализа спектров ЯМР (см. ниже).

Схема 3



При получении 1  $\rightarrow$  3-связанного галактозилфосфогалактозида (II) в качестве гидроксильного компонента использовали 3-ОН-производное (IX). Его синтезировали из *n*-нитрофенил- $\alpha$ -D-галактопиранозида (XI) [10], как указано на схеме 3. Ацетонирование гликозида (XI) 2,2-диметоксипропаном в присутствии  $TsOH \cdot H_2O$  приводило к образованию 3,4-ацетонида (XII) и минорного продукта с большей хроматографической подвижностью, имевшего, по-видимому, структуру (XIII) или (XIV) \* и самопроизвольно превращавшегося в производное (XII) в растворе  $CHCl_3$ . Суммарный выход соединения (XII) составил 65%. Последующее бензоилирование и кислотный гидролиз гладко приводили к дибензоату (XVI). Для получения трибензоата (IX) диол действием триметилортобензоата в присутствии  $TsOH$  превращали в 3,4-ортоэфир (XVII), который далее без выделения гидролизовали 80%  $AcOH$ . По данным [13], ортоэфиры такого типа расщепляются кислотой с освобождением экваториального гидроксила. Образовавшееся производное (IX) выделяли с выходом 81%. Строение полученных соединений (IX), (XII) и (XV)—(XVII) подтверждено данными спектров  $^1H$ -ЯМР (см. «Экспериментальную часть»).

Конденсацию соединений (Va) и (IX) и последующее окисление выполняли в условиях, описанных для синтеза фосфодиэфира (VIII) (см. выше). При использовании небольшого избытка спиртового компонента (IX) (1,12 экв.) выход продукта реакции (X) составил 62% (см. схему 2). Применение 1,3-кратного избытка гликозилводородфосфоната (Va) позволило поднять выход защищенного производного (X) до 91%. Целевой фосфодиэфир (II) получали дебензоилированием соединения (X) в мягких условиях (0,05 М  $MeONa/MeOH$ -диоксан, 0° С), контролируя ход реакции методом ТСХ. Основным продуктом реакции являлся 1  $\rightarrow$  3-связанный галактозилфосфогалактозид (II), выделенный анионообменной хроматографией на фразтогеле TSK DEAE-650 (S) ( $HCO_3^-$ ) с выходом 68%. Кроме него было выделено заметное количество 3,4-циклофосфата (XVIII) (выход 22%), образующегося, очевидно, в результате расщепления гликозилфосфатной связи в присутствии основания за счет соучастия вицинальной ОН-группы (ср. [3]).

Анализ строения синтезированных гликозилфосфосахаров (I) и (II), а также их бензоилированных предшественников (VIII) и (X) был проведен путем сравнительного изучения данных спектроскопии ЯМР (см. табл. 2 и 3). Сигналы в спектрах  $^{31}P$ -ЯМР лежали в области, характерной для положений резонанса диэфиров фосфорной кислоты данной природы [1—5, 8]. Наличие фосфодиэфирных связей между атомами C1' и C6 и C1' и C3 в галактозилфосфогалактозидах (I) и (II) подтверждалось в спектрах  $^{13}C$ -ЯМР смещением положений резонанса этих и соседних атомов (C2' для (I)

\* В работах [11, 12] описано образование аналогичных производных при ацетонировании *n*-нитрофенил- $\beta$ -D-галактопиранозида и метил-1-гидро- $\beta$ -D-галактопиранозида.

Химические сдвиги  $^{31}\text{P}$ - и  $^{13}\text{C}$ -ЯМР ( $\delta$ ) и некоторые КССВ (Гц) гликозилфосфосахаров (I), (II), (VIII) и (X)

АТОМ	(I) *	(II) **	(VIII) **	(X) **
P	-0,36	-1,05	-1,99	-2,41
C1	100,8	99,6	97,45	95,0
C2	69,5	69,7	69,2	70,75
C3 ( $^2J_{\text{C,P}}$ )	70,4	76,4 д (6,1)	68,8	69,9 д (6,1)
C4 ( $^3J_{\text{C,P}}$ )	70,2	68,7 д (6,1)	69,5	70,1 д (7,3)
C5 ( $^3J_{\text{C,P}}$ )	70,8 д (7,3)	73,8	68,8 д	69,5
C6 ( $^2J_{\text{C,P}}$ )	66,0 д (4,7)	62,45	67,7 д	63,55
C1' ( $^2J_{\text{C,P}}$ )	96,9 д (6,7)	97,2 д (6,1)	92,7 д	92,95 д (4,9)
C2' ( $^3J_{\text{C,P}}$ )	69,5 д (8,3)	70,25 д (6,2)	69,0 д	70,0 д (7,3)
C3'	70,5	71,1	68,3	68,35
C4'	70,7	71,1	67,7	67,6
C5'	73,3	73,7	69,2	69,6
C6'	62,4	63,05	62,3	61,7
CH <sub>3</sub> O	56,5	—	55,8	—
NO <sub>2</sub> C <sub>6</sub> H <sub>4</sub> O	—	118,2, 126,5, 143,9, 163,8	—	117,0, 125,5, 142,8, 160,9

\* В D<sub>2</sub>O. Присутствовали также сигналы Et<sub>3</sub>NH<sup>+</sup> (9,6, 48,1).\*\* В CD<sub>3</sub>OD.\*\*\* В CDCl<sub>3</sub>. Присутствовали также сигналы Et<sub>3</sub>NH<sup>+</sup> (8,2—8,4, 45,2—45,4), C<sub>6</sub>H<sub>5</sub>-групп (128,2—130,4, 133,0—133,4) и СО-групп (165,3—166,3).

Таблица 3

Химические сдвиги  $^1\text{H}$ -ЯМР ( $\delta$ ) и КССВ (Гц) первого порядка гликозилфосфосахаров (I), (II), (VIII) и (X)

АТОМ	(I) *	(II) **	(VIII) **	(X) **
H1	4,82 м	5,65 д, $J_{1,2} 3,5$	5,16 д, $J_{1,2} 3,5$	6,13 д, $J_{1,2} 3,5$
H2	3,81 м	4,10 дд, $J_{2,3} 10,0$	5,58 дд, $J_{2,3} 10,7$	5,69 дд, $J_{2,3} 10,5$
H3	3,81 м	4,57 ддд, $J_{3,\text{P}} 8,0$	5,83 дд, $J_{3,4} 3,3$	5,33 дт, $J_{3,\text{P}} 10,5$
H4	4,00—4,08 м	4,24 д, $J_{3,4} 3,0$	5,96 дд, $J_{4,5} 1,1$	6,39 д, $J_{3,4} 3,0$
H5	4,00—4,08 м	3,81 т, $J_{5,6} 5,9$	4,48 дт, $J_{5,6} 8,0$	4,43—4,57 м
H6a	4,00—4,08 м	3,63 д	4,03 ддд, $J_{6a,\text{P}} 8,0$ $J_{6a,6b} 10,3$	4,43—4,57 м
H6b	4,00—4,08 м	3,63 д	4,21 ддд, $J_{6b,\text{P}} 5,8$	4,43—4,57 м
H1'	5,52 дд, $J_{1',2'} 3,0$	5,62 уш. д, $J_{1',2'} \sim 2$	6,01 дд, $J_{1',2'} 3,3$	6,25 дд, $J_{1',2'} 3,0$
H2'	$J_{1',\text{P}} 7,0$ 3,85 ддд, $J_{2',3'} 6,7$	3,78 м	$J_{1',\text{P}} 8,0$ 5,67 ддд, $J_{2',3'} 10,5$	$J_{1',\text{P}} 7,0$ 5,73 дт, $J_{2',3'} 10,0$
H3'	$J_{2',\text{P}} 1,0$ 3,92 дд, $J_{3',4'} 3,0$	3,78 м	$J_{2',\text{P}} 1,6$ 6,09 дд, $J_{3',4'} 3,3$	$J_{2',\text{P}} 3,0$ 6,41 дд, $J_{3',4'} 3,0$
H4'	4,04 дд, $J_{4',5'} 1,2$	3,87 уш. с $J_{4',5'} < 1$	6,02 дд, $J_{4',5'} 1,0$	6,15 д
H5'	4,09 дт, $J_{5',6a'} 6,0$	4,08 дд, $J_{5',6a'} 5,1$	4,93 дт, $J_{5',6a'} 6,0$	5,03 дд, $J_{5',6a'} 8,6$
H6a'	3,71 дд, $J_{6a',6b'} 11,5$	3,63 дд, $J_{6a',6b'} 11,3$	4,22 дд, $J_{6a',6b'} 11,2$	4,27 дд, $J_{6a',6b'} 11,0$
H6b'	3,75 дд, $J_{5',6b'} 6,0$	3,74 дд, $J_{5',6b'} 7,0$	4,34 дд, $J_{5',6b'} 6,0$	4,60 дд, $J_{5',6b'} 5,0$
CH <sub>3</sub> O	3,40 с	—	3,43 с	—

\* В D<sub>2</sub>O. Na<sup>+</sup>-соль.\*\* В CD<sub>3</sub>OD. В спектре присутствовали также сигналы ароматических протонов (7,30 д, 8,16 д).\*\*\* В CDCl<sub>3</sub>. В спектре присутствовали также сигналы Et<sub>3</sub>NH<sup>+</sup> (0,90—1,15 т, 2,64—2,84 к) и ароматических протонов (7,00—8,25 м).

и (II), C5 для (I), C4 для (II)) вследствие  $\alpha$ - и  $\beta$ -эффектов фосфорилирования, а также присутствием КССВ  $^2J_{\text{C,P}}$  и  $^3J_{\text{C,P}}$ , связанных с расщеплением этих сигналов на атоме фосфора. Аналогичное расщепление сигналов H1', H2' и H3 наблюдается в спектрах  $^1\text{H}$ -ЯМР соединений (I) и (II).  $\alpha$ -Конфигурация галактозилфосфатных связей следовала из величин  $J_{\text{H,H}}$  и значений химсдвигов атомов C1', C2', C3' и C5', характерных для  $\alpha$ -D-галактопиранозилфосфата [14].

Аналогичный анализ спектров  $^1\text{H}$ - и  $^{13}\text{C}$ -ЯМР защищенных фосфодиэфиров, проведенный с учетом влияния на химические сдвиги  $\text{O}$ -бензоильных защитных групп, подтверждает структуру производных (VIII) и (X).

Строение 3,4-циклофосфата (XVIII) подтверждено его электрофоретическими и спектральными характеристиками. Так, подвижность при электрофорезе была близка к подвижности 1,2-циклофосфатов сахаров [15]. В спектре  $^{31}\text{P}$ -ЯМР присутствовал единственный сигнал  $\delta_{\text{P}}$  16,8, близкий к сигналам других пятичленных циклофосфатов, например уридин-2',3'-циклофосфата ( $\delta_{\text{P}}$  17,6 [16]) и ацетониндиолциклофосфата ( $\delta_{\text{P}}$  15,5 [17]). В спектре  $^1\text{H}$ -ЯМР наблюдался заметный слабополюсный сдвиг положений резонанса H3 и H4, которые проявлялись в виде мультиплета ( $\delta$  4,76) со сложным характером расщепления. В спектре  $^{13}\text{C}$ -ЯМР сигналы атомов C3 и C4 также были сильно смещены в слабое поле по сравнению с сигналами *n*-нитрофенил- $\alpha$ -D-галактопиранозида (XI) благодаря  $\alpha$ -эффектам фосфорилирования (+7,9 и +5,8 соответственно). В то же время для сигналов C2 и C5 наблюдались отрицательные  $\beta$ -эффекты замещения (-1,6 и -3,5 соответственно).

Таким образом, в ходе проведенного исследования показано, что водородфосфонатный метод может быть использован для эффективного синтеза гликозилфосфосахаров, построенных из остатков  $\alpha$ -D-галактопиранозы. Выходы продуктов конденсации были одинаково высоки при гликозил-Н-фосфонилировании как первичноспиртового (VII), так и вторичноспиртового (IX) акцепторов. Описанное в работе получение  $\alpha$ -галактозилводородфосфоната из смеси  $\alpha$ , $\beta$ -аномеров при обработке фосфористой кислотой, вероятно, может быть использовано и в случае других гексопираноз.

### Экспериментальная часть

Физико-химические и хроматографические методы описаны в работе [1]. Системы для ТСХ: бензол — этилацетат, 10 : 1 (А), 3 : 1 (Б); хлороформ — метанол, 8 : 2 (В), 10 : 1 (Г); изопропиловый спирт — вода, 5 : 1 (Д). Электрофорез выполняли на приборе ПВЭФ-1 при градиенте напряжения 10 В/см в 0,05 М ТЕАВ (рН 7,5) на бумаге Filtrak FN-16, обнаруживая фосфаты реагентом [18]. Пиридин готовили как описано в работе [2].

2,3,4,6-Тетра-*O*-бензоил- $\alpha$ , $\beta$ -D-галактопираноза (IV). К раствору 350 мг (0,5 ммоль) пентабензоата (III) [9] в 9 мл тетрагидрофурана добавляли 3,8 мл MeOH и 1 мл (9,5 ммоль) трет-бутиламина. Раствор выдерживали 60 ч при 20° С и упаривали. Из остатка методом колоночной хроматографии на  $\text{SiO}_2$  (КХ) в бензоле с этилацетатом (97 : 3) выделили 248 мг соединения (IV) (83%, аморфный,  $\alpha$  :  $\beta$  = 4 : 1),  $[\alpha]_D^{27} +127^\circ$  (с 1, хлороформ),  $R_f$  0,55 (А). Соотношение аномеров определяли из спектра  $^1\text{H}$ -ЯМР (см. табл. 1). 25 мг полученного тетрабензоата (IV) разделяли на колонке (1,1  $\times$  24 см) Li Chromer RP-8 (40—63 мкм, Merck) в метаноле с водой (4 : 1), скорость элюирования 1 мл/мин. Выделили фракцию, обогащенную  $\beta$ -аномером (IV $\beta$ ) (8 мг, время выхода 40 мин, при стоянии в растворе мутаротировала до  $\alpha$  :  $\beta$  = 4 : 1), и фракцию (16 мг, время выхода 72 мин), содержащую смесь (IV $\alpha$ ) и (IV $\beta$ ) в соотношении 9 : 1.

2,3,4,6-Тетра-*O*-бензоил- $\alpha$ -D-галактопиранозилводородфосфонат, триэтиламмониевая соль (V $\alpha$ ). К раствору 107 мг (1,57 ммоль) имидазола в 2,5 мл  $\text{CH}_3\text{CN}$  при перемешивании и охлаждении ледяной водой прибавляли 0,042 мл (0,47 ммоль)  $\text{PCl}_3$  и 0,23 мл (1,66 ммоль)  $\text{Et}_3\text{N}$ ; через 15 мин прибавляли по каплям раствор 66 мг (0,11 ммоль) тетрабензоата (IV) ( $\alpha$  :  $\beta$  = 4 : 1) в 2,5 мл ацетонитрила в течение 30 мин. Охлаждение прекращали, к смеси через 5 мин при 20° С прибавляли 0,75 мл 1 М ТЕАВ (рН 8). Раствор перемешивали 15 мин, упаривали, полученный сироп упаривали со смесью пиридин — триэтиламин (4 : 1). Остаток растворяли в  $\text{CHCl}_3$  (70 мл), промывали ледяной водой (2  $\times$  30 мл), охлажденным 1 М ТЕАВ (2  $\times$  30 мл), высушивали и упаривали. Полученный хроматографически однородный продукт высушивали в вакууме (0,5—1 мм Hg) над  $\text{P}_2\text{O}_5$ . Выход  $\alpha$ ,  $\beta$ -водородфосфоната (V) 84 мг (100%, сироп,  $\alpha$  :  $\beta$  = 4 : 1).

$[\alpha]_D^{26} + 95^\circ$  (с 1, хлороформ),  $R_f$  0 (А), 0,45 (В). Соотношение аномеров определяли из спектра  $^1\text{H}$ -ЯМР (см. табл. 1).

К раствору 67 мг (0,09 ммоль) полученного фосфоната (V) в 5 мл  $\text{CH}_3\text{CN}$  прибавляли 190 мг (2,3 ммоль)  $\text{H}_3\text{PO}_3$  (Fluka). Раствор выдерживали 60 ч при  $20^\circ\text{C}$ , разбавляли хлороформом (30 мл), промывали насыщ. раствором  $\text{NaHCO}_3$  ( $2 \times 10$  мл), водой (10 мл), 0,5 М TEAB ( $2 \times 10$  мл), высушивали и упаривали. Из остатка методом КХ в  $\text{CHCl}_3$  с метанолом (0  $\rightarrow$  10% MeOH) выделили 47 мг  $\alpha$ -фосфоната (V $\alpha$ ) (70%, сироп),  $[\alpha]_D^{25} + 106^\circ$  (с 1, хлороформ). Спектр  $^{13}\text{C}$ -ЯМР ( $\text{CDCl}_3$ ): 7,0 ( $\text{CH}_3\text{CH}_2$ ), 44,0 ( $\text{CH}_3\text{CH}_2$ ), 62,35 (С6), 67,9 (С4), 68,3 (С3), 69,15 (д, С2,  $^3J_{\text{C},\text{P}}$  5,6), 69,2 (С5), 92,3 (д, С1,  $^2J_{\text{C},\text{P}}$  3,7), 126,7—127,1, 128,2—128,5, 131,7—132,3 (С<sub>6</sub>Н<sub>5</sub>), 165,3, 165,4, 166,1, (СО). Спектр  $^{31}\text{P}$ -ЯМР ( $\text{CDCl}_3$ ): 1,74 ( $^1J_{\text{P},\text{H}}$  637,5).

*Метил-2,3,4-три-О-бензоил- $\alpha$ -D-галактопиранозид* (VII). Раствор 1,4 г (7,2 ммоль) метил- $\alpha$ -D-галактопиранозид и 2,8 г (10 ммоль) трифенилхлорметана в 15 мл пиридина выдерживали 5 ч при  $50^\circ\text{C}$  и 18 ч при  $20^\circ\text{C}$ . При охлаждении прибавляли 4 мл (34,5 ммоль) бензоилхлорида. Смесь перемешивали 20 ч при  $20^\circ\text{C}$ , выливали на лед, экстрагировали  $\text{CHCl}_3$ , промывали насыщ. раствором  $\text{NaHCO}_3$ , водой, высушивали и упаривали. Кристаллизацией остатка из спирта выделили 3,67 г (68%) соединения (VI),  $R_f$  0,8 (А), спектр  $^1\text{H}$ -ЯМР ( $\text{CDCl}_3$ ): 3,31—3,42 (м, 2Н, Н6а, Н6б), 3,53 (с, 3Н, ОСН<sub>3</sub>), 4,37 (уш. т, 1Н, Н5,  $J_{5,6}$  6,5), 5,32 (д, 1Н, Н1,  $J_{1,2}$  3,5), 5,64 (дд, 1Н, Н2,  $J_{2,3}$  10,3), 6,06 (дд, 1Н, Н3,  $J_{3,4}$  3,4), 6,11 (дд, 1Н, Н4,  $J_{4,5}$  1,0), 7,10—8,10 (м, 3ОН, С<sub>6</sub>Н<sub>5</sub>). К раствору 1,041 г тритилового эфира (VI) и 1,044 г перхлората пиридиния [19] в 44 мл нитрометана прибавляли 15 мл метанола. Смесь нагревали 2 ч при  $50^\circ\text{C}$ , разбавляли пиридином (0,3 мл), упаривали; продукт экстрагировали  $\text{CHCl}_3$ , раствор фильтровали и упаривали. Из остатка методом КХ в бензоле с этилацетатом (0  $\rightarrow$  50% EtOAc) выделили 0,655 г трибензоата (VII) (93%, аморфный),  $[\alpha]_D^{25} + 254^\circ$  (с 2,5, хлороформ),  $R_f$  0,6 (Б). Спектр  $^1\text{H}$ -ЯМР ( $\text{CDCl}_3$ ): 2,66 (т, 1Н, ОН,  $J_{\text{OH},6}$  6,7), 3,49 (с, 3Н, ОСН<sub>3</sub>), 3,66 (дт, 1Н, Н6а,  $J_{5,6\text{a}}$  6,7,  $J_{6\text{a},6\text{b}}$  11,5), 3,81 (дт, 1Н, Н6б,  $J_{5,6\text{b}}$  6,7), 4,35 (дт, 1Н, Н5,  $J_{4,5}$  1,0), 5,30 (д, 1Н, Н1,  $J_{1,2}$  3,5), 5,74 (дд, 1Н, Н2,  $J_{2,3}$  10,5), 5,89 (дд, 1Н, Н4,  $J_{3,4}$  3,4) 6,01 (дд, 1Н, Н3), 7,20—8,20 (м, 15Н, С<sub>6</sub>Н<sub>5</sub>). Спектр  $^{13}\text{C}$ -ЯМР ( $\text{CDCl}_3$ ): 55,7 (ОСН<sub>3</sub>), 60,9 (С6), 68,5 (С3), 69,3 (С5), 69,6 (С2), 70,1 (С4), 97,6 (С1), 128,3—130,1, 133,2—133,8 (С<sub>6</sub>Н<sub>5</sub>), 165,5, 166,2, 166,8 (СО).

*n*-Нитрофенил- $\alpha$ -D-галактопиранозид (XI) получали по методике [10]. Спектр  $^{13}\text{C}$ -ЯМР ( $\text{CD}_3\text{OD}$ ): 62,7 (С6), 69,9 (С4), 70,9 (С3), 71,5 (С2), 74,1 (С5), 99,8 (С1), 118,3, 126,8, 144,0, 163,95 (С<sub>6</sub>Н<sub>4</sub>).

*n*-Нитрофенил-3,4-О-изопропилиден- $\alpha$ -D-галактопиранозид (XII). Раствор 500 мг галактозида (XI) и 45 мг TsOH·H<sub>2</sub>O в 5 мл 2,2-диметоксипропана перемешивали 1,5 ч при  $20^\circ\text{C}$ , нейтрализовали триэтиламиноом (1мл) и упаривали. Из остатка методом КХ в бензоле с этилацетатом (0  $\rightarrow$  75% EtOAc) выделили 277 мг ацетонида (XII) ( $R_f$  0,42 (Г)) и 99 мг минорного продукта ( $R_f$  0,50 (Г)). Последний превращался в соединение (XII) при выдерживании в растворе  $\text{CHCl}_3$  (16 ч,  $20^\circ\text{C}$ ). Общий выход продукта (XII) 368 мг (65%), т. пл. 172—173°С (гексан — ацетон),  $[\alpha]_D^{29} + 197^\circ$  (с 1, хлороформ). Спектр  $^1\text{H}$ -ЯМР ( $\text{CDCl}_3$ ): 1,40 (с, 3Н, ССН<sub>3</sub>), 1,56 (с, 3Н, ССН<sub>3</sub>), 3,82 (дд, 1Н, Н6а,  $J_{5,6\text{a}}$  4,5,  $J_{6\text{a},6\text{b}}$  12,0), 3,93 (дд, 1Н, Н6б),  $J_{5,6\text{b}}$  5,6), 4,07 (дд, 1Н, Н2,  $J_{1,2}$  3,5), 4,17 (ддд, 1Н, Н5,  $J_{4,5}$  2,3), 4,37 (дд, 1Н, Н4) 4,48 (т, 1Н, Н3,  $J_{2,3} = J_{3,4} = 6,2$ ), 5,69 (д, 1Н, Н1), 7,20 и 8,22 (2д, 4Н, С<sub>6</sub>Н<sub>4</sub>). Найдено, %: С 52,72, Н 5,31, N 4,01. C<sub>15</sub>H<sub>19</sub>NO<sub>8</sub>. Вычислено, %: С 52,79, Н 5,57, N 4,10.

*n*-Нитрофенил-2,6-ди-О-бензоил-3,4-О-изопропилиден- $\alpha$ -D-галактопиранозид (XV). К раствору 240 мг (0,7 ммоль) ацетонида (XII) в 3 мл пиридина при охлаждении и перемешивании прибавляли 0,242 мл (2,1 ммоль) бензоилхлорида. Смесь выдерживали 24 ч при  $20^\circ\text{C}$ , фильтровали и упаривали. Методом КХ в бензоле с этилацетатом (0  $\rightarrow$  10% EtOAc) выделили 378 мг дибензоата (XV) (99%, аморфный),  $[\alpha]_D^{27} + 137^\circ$  (с 1, хлороформ),  $R_f$  0,70 (А). Спектр  $^1\text{H}$ -ЯМР ( $\text{CDCl}_3$ ): 1,43 (с, 3Н, ССН<sub>3</sub>), 1,63 (с, 3Н, ССН<sub>3</sub>), 4,30 (дд, 1Н, Н5,  $J_{4,5}$  2,3), 4,35 (дд, 1Н, Н4,  $J_{3,4}$  5,3),

4,53 (д, 2Н, Н6,  $J_{5,6}$  5,7), 4,66 (дд, 1Н, Н3,  $J_{2,3}$  7,8), 5,29 (дд, 1Н, Н2,  $J_{1,2}$  3,5), 5,82 (д, 1Н, Н1), 7,10—8,15 (м, 14Н,  $C_6H_4$ ,  $C_6H_5$ ).

*n*-Нитрофенил-2,6-ди-*O*-бензоил- $\alpha$ -*D*-галактопиранозид (XVI). Суспензию 300 мг соединения (XV) в смеси 12 мл  $AsOH$  и 6 мл воды нагревали 1 ч при 100° С. Раствор упаривали, от остатка отгоняли толуол. Методом КХ в бензоле с этилацетатом (0 → 50%  $EtOAc$ ) выделили 261 мг (94%) диола (XVI) (аморфный),  $[\alpha]_D^{26} +166^\circ$  (*c* 1, хлороформ),  $R_f$  0,10 (А). Спектр  $^1H$ -ЯМР ( $CDCl_3$ ): 3,20 (уш. с, 1Н, ОН), 3,30 (уш. с, 1Н, ОН), 4,21—4,29 (м, 2Н, Н4, Н5), 4,46 (дд, 1Н, Н3,  $J_{3,4}$  3,3), 4,56 (дд, 1Н, Н6а,  $J_{5,6a}$  7,5,  $J_{6a,6b}$  11,7), 4,66 (дд, 1Н, Н6б,  $J_{5,6b}$  4,8), 5,52 (дд, 1Н, Н2,  $J_{2,3}$  10,2), 5,99 (дд, 1Н, Н1,  $J_{1,2}$  3,6), 7,10—8,10 (м, 14Н,  $C_6H_4$ ,  $C_6H_5$ ).

*n*-Нитрофенил-2,4,6-три-*O*-бензоил- $\alpha$ -*D*-галактопиранозид (IX). К раствору 240 мг (0,47 ммоль) дибензоата (XVI) в 1,2 мл  $CH_3CN$  прибавляли молекулярные сита 3 Å (10 мг), 0,102 мл (0,59 ммоль) триметилортобензоата и каталитическое количество безводной  $TsOH$ . Смесь перемешивали 24 ч при 20° С (ТСХ-контроль в системе А) и упаривали. Образовавшийся ортоэфир (XVII) ( $R_f$  0,70 и 0,80 (А)) выдерживали в 0,5 мл  $AsOH$  20 ч при 20° С, растворитель упаривали. Из остатка методом КХ в бензоле с этилацетатом (0 → 10%  $EtOAc$ ) выделили 237 мг (81%) трибензоата (IX) (аморфный),  $[\alpha]_D^{28} +128^\circ$  (*c* 1, хлороформ),  $R_f$  0,25 (А), 0,71 (Б). Спектр  $^1H$ -ЯМР ( $CDCl_3$ ): 2,77 (уш. с, 1Н, ОН), 4,42—4,56 (м, 3Н, Н5, Н6), 4,75 (дд, 1Н, Н3,  $J_{2,3}$  10,5), 5,60 (дд, 1Н, Н2,  $J_{1,2}$  3,6), 5,88 (д, 1Н, Н4,  $J_{3,4}$  3,5), 6,11 (д, 1Н, Н1), 7,10—8,20 (м, 19Н,  $C_6H_4$ ,  $C_6H_5$ ). Спектр  $^{13}C$ -ЯМР ( $CDCl_3$ ): 63,0 (С6), 67,4 (С3), 68,9 (С5), 71,1 (С4), 71,2 (С2), 95,0 (С1), 118,75, 125,6 ( $C_6H_4$ ), 128,4—130,15, 133,6—133,9 ( $C_6H_5$ ), 148,7, 160,9 ( $C_6H_4$ ), 166,0, 166,5 (СО).

Метил-2,3,4-три-*O*-бензоил-6-(2,3,4,6-тетра-*O*-бензоил- $\alpha$ -*D*-галактопиранозилфосфо)- $\alpha$ -*D*-галактопиранозид, триэтиламмониевая соль (VIII). Смесь 67 мг (0,09 ммоль) водородфосфоната (Vа) и 45 мг (0,09 ммоль) соединения (VII) высушивали лиофилизацией из бензола (2 × 2 мл). К раствору остатка в 0,5 мл пиридина при перемешивании прибавляли 0,03 мл (0,24 ммоль) триметилацетилхлорида и через 10 мин при 20° С раствор 50 мг (0,2 ммоль) нода в 1 мл смеси пиридин —  $H_2O$  (95 : 5). ТСХ-контроль проводили в системах Б и Г. Через 10 мин смесь разбавляли хлороформом (30 мл), промывали 1 М  $Na_2S_2O_3$  (2 × 10 мл), 0,5 М ТЕАВ (2 × 10 мл), высушивали и упаривали. Методом КХ в хлороформе с метанолом (0 → 10%  $MeOH$ ) выделили 89 мг (80%) фосфодиаэфира (VIII) (аморфный),  $R_f$  0,60 (Г). Спектры  $^{13}C$ - и  $^{31}P$ -ЯМР — см. табл. 2. Спектр  $^1H$ -ЯМР — см. табл. 3.

*n*-Нитрофенил-2,4,6-три-*O*-бензоил-3-(2,3,4,6-тетра-*O*-бензоил- $\alpha$ -*D*-галактопиранозилфосфо)- $\alpha$ -*D*-галактопиранозид, триэтиламмониевая соль (X), был получен из 80 мг (0,105 ммоль) *H*-фосфоната (Vа) и 50 мг (0,08 ммоль) соединения (IX) по методике синтеза фосфодиаэфира (VIII). Выход соединения (X) 102 мг (91%, аморфный),  $[\alpha]_D^{30} +96^\circ$  (*c* 1, хлороформ),  $R_f$  0,64 (Г). Спектры  $^{13}C$ - и  $^{31}P$ -ЯМР — см. табл. 2. Спектр  $^1H$ -ЯМР — см. табл. 3.

Метил-6- $\alpha$ -*D*-галактопиранозилфосфо- $\alpha$ -*D*-галактопиранозид, триэтиламмониевая соль (I). К раствору 89 мг соединения (VIII) в 2 мл 1,4-диоксана прибавляли 2 мл 0,2 М  $MeONa$  в метаноле. Смесь выдерживали 1 ч при 20° С (ТСХ-контроль в системе Д), обрабатывали катионитом Dowex 50 ( $H^+$ ), фильтровали, фильтрат немедленно нейтрализовали триэтиламинном (2 мл) и упаривали досуха. От остатка отгоняли метанол. Фосфодиаэфир (I) выделяли гель-хроматографией на колонке (1,5 × 74 см,  $V_0 = 40$  мл) с фрактогелем TSK HW-40 (S) (Merck) в деионизованной воде (скорость элюирования 1 мл/мин). Выход 30 мг (80%, аморфный),  $[\alpha]_D^{28} +110^\circ$  (*c* 1, 2, вода),  $R_f$  0,30 (Д). Спектры  $^{13}C$ - и  $^{31}P$ -ЯМР — см. табл. 2. Спектр  $^1H$ -ЯМР — см. табл. 3.

*n*-Нитрофенил-3- $\alpha$ -*D*-галактопиранозилфосфо- $\alpha$ -*D*-галактопиранозид, аммониевая соль (II) и *n*-нитрофенил- $\alpha$ -*D*-галактопиранозид-3,4-циклофосфат, аммониевая соль (XVIII). Соединение (X) (50 мг) дебензоилирова-

ли в 4 мл 0,05 М раствора MeONa в метаноле с 1,4-диоксаном (1 : 1) в течение 1 ч при 0° С (ТСХ-контроль в системе Д). Дальнейшая обработка проводилась, как описано в синтезе соединения (I). Продукты реакции разделяли ионообменной хроматографией на колонке (1 × 18 см) с фрактогелем TSK DEAE-650 (S) (НСО<sub>3</sub>) (Мегск) в линейном градиенте бикарбоната аммония от 0 до 0,25 М (скорость элюирования 1 мл/мин).

Выделили 14 мг (68%) фосфодиэфира (II) (аморфный),  $[\alpha]_D^{25} + 168^\circ$  (с 1, 1, метанол),  $R_f$  0,47 (Д),  $E_{\text{цикрат}}$  0,80,  $E_{\text{ГЛСР}}$  0,50 (спектры <sup>13</sup>С- и <sup>31</sup>Р-ЯМР — см. табл. 2, спектры <sup>1</sup>Н-ЯМР — см. табл. 3), и 3 мг (22%) циклофосфата (XVIII) (аморфный),  $[\alpha]_D^{25} + 101^\circ$  (с 0,8, вода),  $R_f$  0,72 (Д),  $E_{\text{цикрат}}$  0,85,  $E_{\text{ГЛСР}}$  0,53; спектр <sup>1</sup>Н-ЯМР (D<sub>2</sub>O): 3,80 (м, 2Н, Н6а, Н6б,  $J_{6a,6b}$  12,0), 4,11 (ддд, 1Н, Н5,  $J_{4,5}$  2,0,  $J_{5,6a}$  4,5,  $J_{5,6b}$  9,5), 4,23 (дд, 1Н, Н2,  $J_{2,3}$  8,5), 4,76 (м, 2Н, Н3, Н4), 5,87 (д, 1Н, Н1,  $J_{1,2}$  3,5), 7,33 и 8,30 (2д, 4Н, C<sub>6</sub>H<sub>4</sub>); спектр <sup>13</sup>С-ЯМР (CD<sub>3</sub>OD): 61,85 (С6), 69,9 (С2), 70,6 (С5), 75,65 (С4), 78,8 (С3), 97,55 (С1), 118,1, 127,5, 144,2, 163,9 (С<sub>6</sub>H<sub>4</sub>); спектр <sup>31</sup>Р-ЯМР (D<sub>2</sub>O): 16,81.

Авторы благодарят А. С. Шашкова за съемку и помощь в интерпретации спектров <sup>1</sup>Н- и <sup>13</sup>С-ЯМР и А. В. Игнатенко — за съемку спектров <sup>31</sup>Р-ЯМР.

#### СПИСОК ЛИТЕРАТУРЫ

1. Николаев А. В., Иванова И. А., Шibaев В. Н., Кочетков Н. К. // Биоорган. химия. 1990. Т. 16. № 8. С. 1105—1117.
2. Николаев А. В., Рябцева Е. В., Шibaев В. Н., Кочетков Н. К. // Биоорган. химия. 1989. Т. 15. № 12. С. 1649—1659.
3. Николаев А. В., Иванова И. А., Шibaев В. Н., Кочетков Н. К. // Биоорган. химия. 1990. Т. 16. № 5. С. 674—684.
4. Елисеева Г. И., Николаев А. В., Шibaев В. Н., Кочетков Н. К. // Биоорган. химия. 1989. Т. 15. № 8. С. 1140—1143.
5. Николаев А. В., Иванова И. А., Шibaев В. Н. // Биоорган. химия. 1990. Т. 16. № 12. С. 1693—1695.
6. Slodki M. E. // J. Biol. Chem. 1966. V. 241. № 11. P. 2700—2706.
7. Hofmann P., Jann B., Jann K. // Eur. J. Biochem. 1985. V. 147. P. 601—609.
8. Srivastava O. P., Hindsgaul O. // Carbohydr. Res. 1985. V. 143. № 1. P. 77—84.
9. Defferari J. O., Deulofeu V. // J. Org. Chem. 1952. V. 17. № 8. P. 1097—1101.
10. Helferich B., Jung M. // Liebigs Ann. Chem. 1954. V. 589. № 1. P. 77—81.
11. Кочетков Н. К., Дмитриев Б. А., Черняк А. Я. // Биоорган. химия. 1977. Т. 3. № 6. С. 752—758.
12. Varili P. L., Berti G., Catelani G., Colonna F., Marra A. // Tetrahedron Lett. 1986. V. 27. № 20. P. 2307—2310.
13. Lemieux P. U., Driguez H. // J. Amer. Chem. Soc. 1975. V. 97. № 14. P. 4069—4075.
14. O'Conner J. V., Nunez H. A., Barker R. // Biochemistry. 1979. V. 18. № 3. P. 500—507.
15. Данилов Л. Л., Мальцев С. Д., Шibaев В. Н., Кочетков Н. К. // Биоорган. химия. 1982. Т. 8. № 1. С. 109—113.
16. Зарьтова В. Ф., Раит В. К., Черникова Т. С. // Биоорган. химия. 1977. Т. 3. № 12. С. 1626—1632.
17. Нифантьев Э. Е., Васянина Л. К. Спектроскопия ЯМР <sup>31</sup>Р (методическая разработка для студентов). М.: МГПИ им. В. И. Ленина, 1986. С. 62.
18. Hanes C. S., Isherwood F. A. // Nature. 1949. V. 164. № 4183. P. 1107—1109.
19. Кочетков Н. К., Дмитриев Б. А., Байрамова Н. Э., Николаев А. В. // Изв. АН СССР. Сер. хим. 1978. № 3. С. 652—656.

Поступила в редакцию  
4.VII.1990

N. S. UTKINA, A. V. NIKOLAEV, V. N. SHIBAEV

#### FRAGMENTS OF BIOPOLYMERS CONTAINING GLYCOSYL PHOSPHATE RESIDUES. 6. SYNTHESIS OF $\alpha$ -D-GALACTOSE PHOSPHODIESTERS, I FRAGMENTS OF THE PHOSPHOGALACTANS FROM *SPOROBOLOMYCES* YEASTS AND OF THE CAPSULAR ANTIGEN OF *ESCHERICHIA COLI* K52

N. D. Zelinsky Institute of Organic Chemistry, Academy of Sciences  
of the USSR, Moscow

Syntheses of methyl 6-( $\alpha$ -D-galactopyranosyl phosphate)- and *p*-nitrophenyl 3-( $\alpha$ -D-galactopyranosyl phosphate)- $\alpha$ -D-galactopyranosides were performed through coupling of 2,3,4,6-tetra-O-benzoyl- $\alpha$ -D-galactopyranosyl hydrogenphosphonate with the partially acylated galactopyranosides, in the presence of trimethylacetyl chloride, followed by oxidation and debenzoylation. The data of <sup>1</sup>H, <sup>13</sup>C, and <sup>31</sup>P NMR spectra of the synthesized phosphate diesters are reported.